

論 文

[2121] CFRP ロッドを主筋及びスターラップに用いたコンクリート梁のせん断性状

正会員○小林俊彦（J R 西日本）

正会員 丸山久一（長岡技術科学大学）

清水敬二（長岡技術科学大学）

金倉正三（長岡技術科学大学大学院）

1. はじめに

塩害を受けやすい海洋構造物や、誘導電流および磁気吸引力の増大によって悪影響を受ける超電導磁気浮上式鉄道用の構造物では、鉄筋に代わる補強材として F R P の使用が検討されている。F R P ロッドを用いたコンクリート梁のせん断性状に関しては、これまでにいくつか研究が行なわれており、F R P ロッドを主筋に用いると、コンクリートの負担せん断力が小さくなること、骨材のかみ合わせの影響が小さいこと、主筋のほど作用が小さいことなどが指摘されている[1]。さらに、F R P ロッドをスターラップに用いると、せん断耐力は従来の算定式で求めた値よりも小さいこと、曲げ加工部強度が低下すること等が報告されている[2]。しかし、せん断耐力およびせん断性状に関してはまだ研究が十分に進んでおらず、実際の構造物に F R P ロッドを使用するには、その部材性状を明らかにし、設計法を確立する必要がある。

本研究は、F R P ロッドを用いたコンクリート梁のせん断耐力および変形性状について検討したものである。

2. 実験概要

2. 1 使用材料

今回実験に使用した F R P ロッドは、P A N 系炭素繊維をビニルエスチル樹脂で被覆したもので、平均繊維含有率が 40 % のものである（以下 C F R P ロッドと記す）。C F R P ロッドとして、主筋に用いる場合（C 1 3、C 1 6、C 2 2 を使用）には、20 cm ピッチで交差筋が入って平面格子状になっているものを、またスターラップ（C 6 を使用）には、ループ状の一体構造のものを使用した。C F R P ロッドの物性値を表-1 に示す。また、比較用として、表-2 に示す鉄筋（S D 3 5）を用いた供試体も作成した。

なお、コンクリートの最大骨材寸法は 25 mm である。

2. 2 供試体および実験方法

実験パラメータは、1) 補強筋の材質（C F R P ロッド、鉄筋）、2) 主筋比、3) 主筋の配筋段数、4) スターラップの有無、5) 断面寸法、および 6) せん断スパン比とした。表-3 に供試体一覧を示すとともに、図-1 に代表的な供試体の寸法および断面形状を示す。

表-1 C F R P の材料特性

種別	公称断面積 cm ²	引張強度 kgf/cm ²	ヤング係数 kgf/cm ²	破断ひずみ %
C6	0.181	13080	9.60 × 10 ⁵	1.4
C13	0.633	13080	9.60 × 10 ⁵	1.4
C16	1.028	13080	9.60 × 10 ⁵	1.4
C22	1.977	13080	9.60 × 10 ⁵	1.4

表-2 鉄筋の材料特性

種別	公称断面積 cm ²	降伏応力 kgf/cm ²	ヤング係数 kgf/cm ²
D6	0.32	4000	2.00 × 10 ⁶
D13	1.27	3800	1.90 × 10 ⁶
D16	1.99	4100	1.95 × 10 ⁶
D22	3.87	4050	1.80 × 10 ⁶

載荷は変位制御で行い、二点対称集中載荷とするために荷重分配桁の下に相互にゴムホースで連結した油圧ジャッキを配している。さらに、支承は両端とも回転および移動を可能とし、軸方向の拘束の影響を少なくした。

なお、せん断ひび割れ幅および曲げひび割れ幅は、あらかじめ供試体に貼付した標点(10cm間隔)をコンタクトストレインメータにより測定した。また、スパン中央と載荷点の引張縁に変位計を取り付け、供試体の変位も測定した。

3. 実験結果および考察

実験結果を表-4に示す。

3. 1 スターラップのない梁のせん断耐力

表-4の中で、曲げ耐力の算定には通常の曲げ理論を用いた。また、せん断耐力の算定において、スターラップのない梁では基本的に岡村・桧貝の式(1)を用い[3]、FRPを用いたことによる軸方向の剛性の影響をヤング係数比(E_f/E_s)で考慮することとした[4]。これは、せん断耐力に及ぼす主筋の

$$V_c = f_{vo} \{ 0.75 + 1.4 / (a/d) \} (1 + \beta p^* + \beta d) b w d \quad (1)$$

ここで、 $f_{vo} = 0.94 \sqrt[3]{f_{c'}}$ (kgf/cm²)

$$\beta p^* = \sqrt{100 p_w^*} - 1 \leq 0.73 \quad , \quad p_w^* = A_s / (b w d) \cdot (E_f / E_s)$$

$$\beta d = \sqrt[4]{100 / d} - 1 \quad (\text{cm})$$

効果として軸方向の変形の拘束が挙げられ、主筋の引張剛性が影響するという点を考慮したものである。その結果を図-2に示す。主筋にCFRPを用いた場合の耐力比(P_{max}/P_{cal})の平均値は1.22となり、ある程度の適用が可能であるが、現段階では必ずしも十分とは言えない。また、多段配筋の場合、 A_s ならびに d について検討をおこなった結果、1) 有効高さ d は最下段の軸

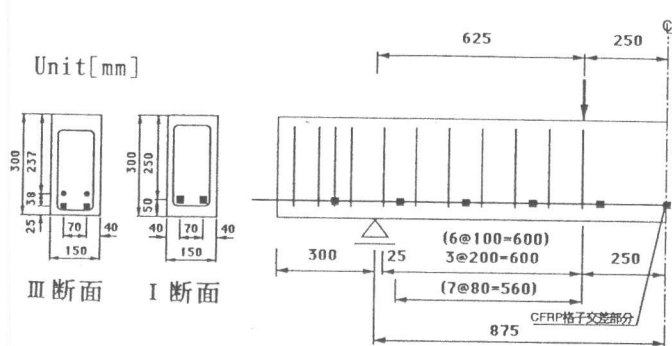


図-1 供試体寸法及び断面形状

表-3 供試体一覧

供試体名称	断面	主筋	スターラップ (間隔:cm)	有効高さ d (cm)	主筋比 (%)	せん断スパン比 a/d
FN1-1	I	2-C16		25	0.55	2.50
FN1-2	I	2-C22		25	1.05	2.50
FN1-4	I	4-C22		25	2.11	2.50
SN1-1	I	2-D16		25	1.06	2.50
SN1-2	I	2-D22		25	2.06	2.50
MN3-2	III	2C16+2D16		24.5	1.64	2.55
FF1-1-20	I	2-C16	2-C6 (20)	25	0.55	2.50
FF1-1-10	I	2-C16	2-C6 (10)	25	0.55	2.50
FF1-1-8	I	2-C16	2-C6 (8)	25	0.55	2.50
FF1-2-20	I	2-C22	2-C6 (20)	25	1.05	2.50
FF1-4-20	I	4-C22	2-C6 (20)	25	2.06	2.50
FS1-1-20	I	2-C16	2-D6 (20)	25	0.55	2.50
SF1-1-20	I	2-D16	2-C6 (20)	25	1.06	2.50
SF1-1-10	I	2-D16	2-C6 (10)	25	1.06	2.50
SF1-2-20	I	2-D22	2-C6 (20)	50	2.06	2.50
SS1-1-20	I	2-C16	2-D6 (20)	25	1.06	2.50
MF3-2-20	III	2C16+2D16	2-C6 (20)	24.5	1.64	2.55
MN3-2-AD	III	2C16+2D16		24.5	1.64	4.08
FN2-1	II	4-C22		50	0.53	2.50
SN2-1	II	4-D22		50	1.03	2.50
MN4-1	IV	8C13+4D13		50	0.68	2.50
FF2-1-20	II	4-C22	2-C6 (20)	50	0.53	2.50

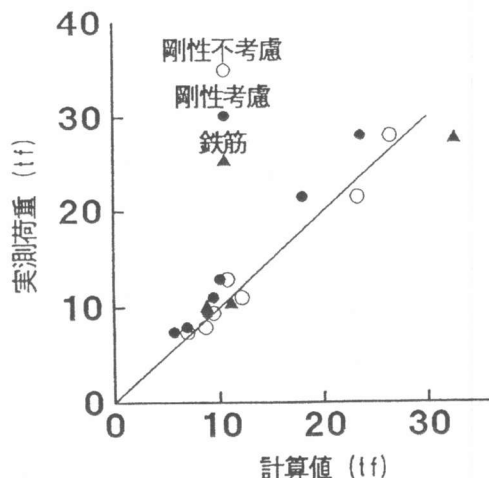


図-2 スターラップのない梁のせん断耐力

方向補強筋の有効高さ d_1 とする。2)

補強筋量 A_s は軸方向補強筋量を軸方向補強筋の上面からの距離と最下段の補強筋の有効高さ d_1 との比により低減

$$A_s = \sum \left\{ \left(E_i / E_s \right) \left(d_i / d_1 \right) A_i \right\} \quad (2)$$

し、式(2)より求めた[5]。その結果を図-3に示す。この場合、実測値は算定値に僅かではあるが近づいている。これは多段配筋の場合、変形に最も影響する最下段の軸方向補強材の効果を考慮したものである。

3. 2 スターラップのある梁のせん断耐力

スターラップのある梁のせん断耐力は、トラス理論を用いた土木学会式(式(3))によるものである。

この算定式中で、FRPスターラップの効果をどのように評価するかが問題となるが、ここでは便宜的にスターラップ断面積にヤング係数比を考慮し、強度は破断強度を用いた。なお、FF1-4-20以外の供試体では、スターラップの破断は認められなかった。主筋剛性の増加とスターラップの効果の関係を図-4に示す。ここで、最大荷重時にスターラップの曲げ加工部が引張破断したFF1-4-20を考慮すれば、FRPスターラップは、主筋剛性が大きくなるとスターラップの受け持つせん断力が大きくなる。

$$V_u = V_c + V_s \quad (3)$$

$$\text{ここで、 } V_s = A_w^* f_w (\sin \alpha + \cos \alpha) (z/s), \quad A_w^* = A_w (E_f / E_s)$$

表-4 実験結果

供試体名称	圧縮強度 f_c' (kgf/cm ²)	破壊荷重 P_{max} (tf)	耐力計算値 P_{cal} (tf)		P_{max} / P_{cal}	破壊形式
			曲げ	せん断		
FN1-1	27.5	7.40	13.50	5.65	1.31	せん断
FN1-2	27.5	7.90	16.90	6.87	1.15	せん断
FN1-4	34.9	11.55	24.80	9.41	1.23	せん断
SN1-1	28.5	10.35	10.60	8.78	1.18	せん断
SN1-2	27.5	10.30	20.50	11.12	0.93	せん断
MN3-2	35.0	12.85	21.30	10.06	1.28	せん断
FF1-1-20	36.2	11.80	16.00	11.34	1.04	せん断
FF1-1-10	38.3	16.80	16.60	16.60	1.01	せん断
FF1-1-8	32.5	16.20	15.00	18.84	1.08	曲げ
FF1-2-20	35.0	14.55	19.90	12.59	1.16	せん断
FF1-4-20	34.9	16.50	24.80	14.55	1.13	せん断
FS1-1-20	30.0	9.75	14.20	11.38	0.86	せん断
SF1-1-20	37.8	13.35	12.10	14.79	1.10	曲げ
SF1-1-10	38.3	13.05	12.20	19.98	1.07	曲げ
SF1-2-20	30.0	21.60	21.10	16.59	1.30	せん断
SS1-1-20	29.3	11.60	11.90	14.43	0.97	曲げ
MF3-2-20	38.9	19.25	22.60	15.46	1.25	せん断
MN3-2AD	39.4	9.40	14.20	8.80	1.07	せん断
FN2-1	32.8	21.45	59.30	17.97	1.19	せん断
SN2-1	39.4	27.60	46.90	32.64	0.85	せん断
MN4-1	35.6	28.00	60.20	23.64	1.18	せん断
FF2-1-20	32.5	32.70	59.00	28.21	1.16	せん断

耐力の算定は、主筋及びスターラップに換算断面積を使用した。
FF1-4-20以外の供試体において、スターラップの破断は認められなかった。

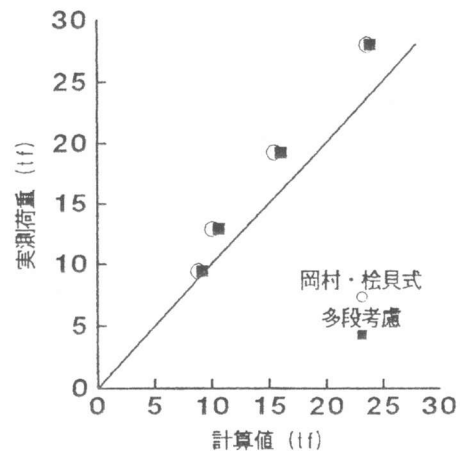


図-3 多段配筋のせん断耐力

3. 3せん断ひび割れ

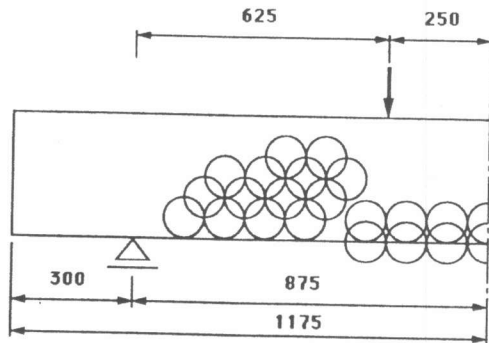


図-5 測定位置

斜めひび割れが発生すると予想された領域(図-5参照)について水平方向および鉛直方向の変形量($\triangle l_x$, $\triangle l_y$)およびひび割れが水平方向となす角(α)を測定した。そして、せん断ひび割れ幅(W)として、ひび割れ面の垂直変位を式(4)により求めた。図-6に供試体の上縁から約15cmの位置の最大せん断ひび割れ幅を示す。スターラップを有しない供試体は、せん断ひび割れ発生とほぼ同時に破壊してしまうためほとんどの供試体で測定することができなかった。主筋にCFRPを用いた梁では、荷重比(P/P_{max})と最大せん断ひび割れ幅の関係は、主筋比やスターラップ量にそれほど影響されていない。

$$W = \triangle l_x \cdot \cos \alpha + \triangle l_y \cdot \sin \alpha \quad (4)$$

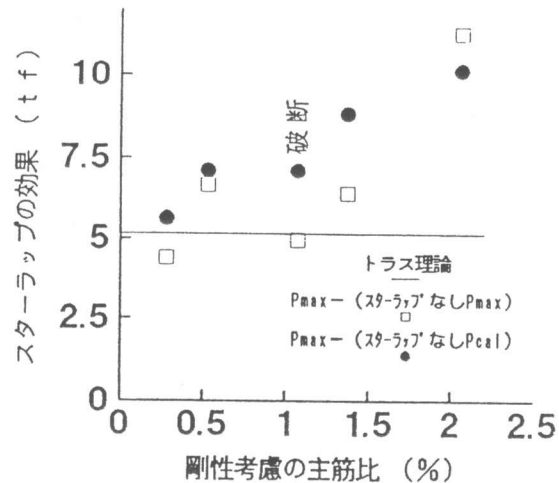


図-4 スターラップの効果

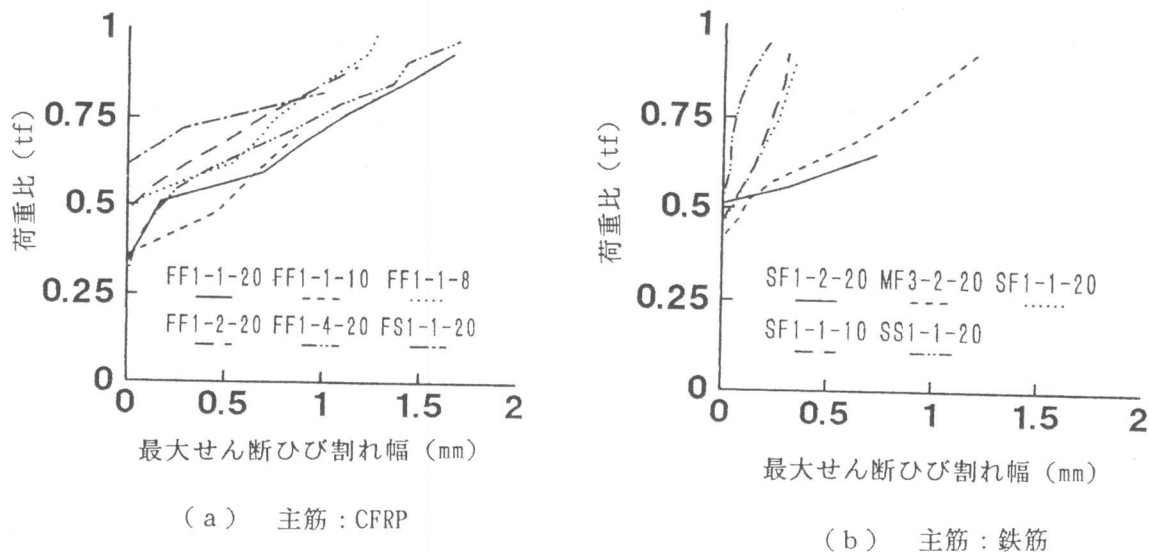


図-6 最大せん断ひび割れ幅

3. 4せん断卓越域の変形

せん断に関する実験結果及びせん断ひび割れ幅の状況を検討すると、主筋及びスターラップの剛性がせん断耐力に影響を及ぼしていることが認められる。これは梁の変形、主としてせん断卓越領域における変形とせん断耐力とに関係があると考えられる。そこで、せん断変形が卓越する領域における変形を表わす指標として式(5)用いることとした。

$$D = \sum \sqrt{\Delta l_x^2 + \Delta l_y^2} \quad (5)$$

ここで対象とする変形は、図-5での領域のもので、各供試体で同じ位置である。この指標と載荷荷重比(P/P_{max})の関係を図-7に示す。但し、スターラップのある梁についてのみ示してあり、スターラップのない梁では斜めひび割れの発生とともに終局に達したため、Dは得られていない。荷重比とDの関係は、主筋比にそれほど影響されていない。

3. 5耐力算定式の再評価

実験結果を検討すると、主筋の剛性がスターラップの効果に影響を及ぼしていることが認められる。せん断破壊したCFRPスターラップを有する供試体のDと載荷荷重の間には、図-8のような関係がある。スターラップの効果とDは関係があると考えられ、また、実験結果も考慮して、式(6)のようなスターラップの受け持つせん断耐力の算定値を提案した。

$$Vs^* = 0.9 A_w f_y \sqrt[3]{P_w^* / 2} (\sin \alpha + \cos \alpha) (z/s) \quad (6)$$

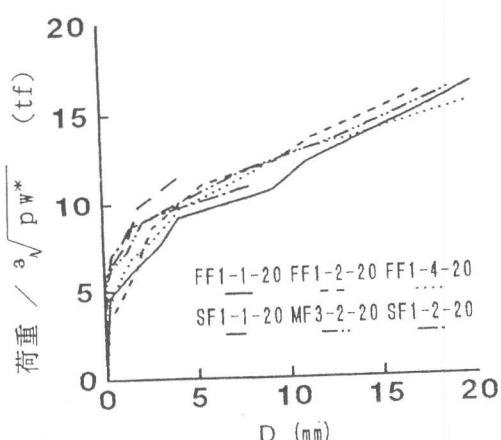


図-8 主筋比考慮のせん断卓越域の変形

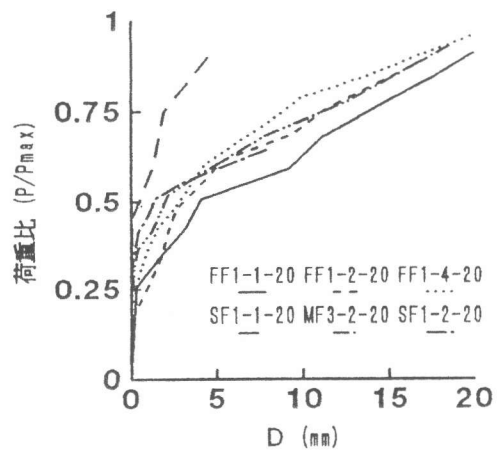
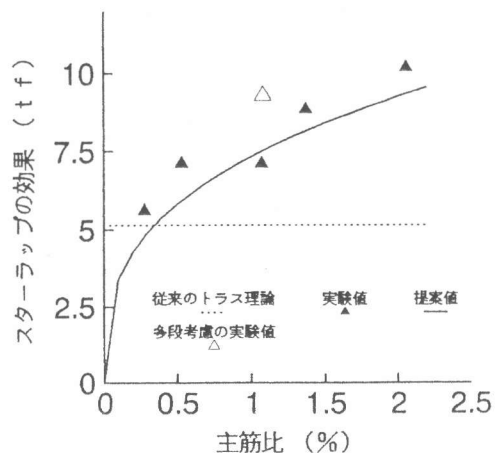


図-7 せん断卓越域の変形量



ここで、実験値 = (実測値) - (スターラップなしの算定値)

図-9 提案式のスターラップの効果

ここに、 A_w は CFRP スターラップ断面積、 p_w^* は剛性考慮の主筋比（%）である。この結果を図-9 及び図-10 に示す。この結果、耐力比 (P_{max}/P_{cal}) の平均値は 1.12 から 1.04 になり、変動係数（%）は 4.8 から 4.5 になった。この結果、スターラップに CFRP を用いる場合、スターラップの受け持つせん断耐力は、主筋の剛性の影響を受ける。

4.まとめ

本研究によって得られた結果は、次の通りである。

- (1) せん断変形を表わす新しい指標を導入することで、せん断耐力とせん断変形の関係を表わすことが可能である。
- (2) 主筋およびスターラップに弾性係数の異なる補強筋を用いる場合には、引張剛性で補正することによって、従来の算定式もある程度適用可能である。
- (3) CFRP スターラップの受け持つせん断力は、主筋の剛性の影響を受ける。

[謝辞]

本研究を実施するにあたり、実験の遂行に際しては新潟県の酒井公生氏、清水建設の山本康之氏、長岡技術科学大学の大高昌彦氏、趙唯堅氏、柳益夫氏、長岡技術科学大学建設系文部技官の中村裕剛氏の御協力を得、また、CFRP ロッド等の材料に関しては清水建設の中辻照幸氏に多大なる御協力を頂きました。ここに心から謝意を表わし、厚くお礼申し上げます。

[参考文献]

- 1) 寺田年夫・鳥取誠一・涌井 一・宮田尚彦： CFRP をせん断補強に用いた RC はりの破壊性状について、コンクリート工学年次論文報告集、vol. 10、No. 3、pp. 541～546、1988
- 2) 涌井 一・鳥取誠一・寺田年夫・原 千里： CFRP 棒材を緊張材ならびにらせん状せん断補強筋として用いたはりのせん断試験、コンクリート工学年次論文報告集、vol. 11、No. 1、pp. 835～838、1989
- 3) H. Okamura・T. Higai : Proposed Design Equation for Shear Strength of Reinforced Concrete Beams without Web Reinforcement, Proc. of JSCE, pp. 131～141, No. 300 (1980. 8)
- 4) 辻 幸和・齊藤 等・関島謙蔵・小川広幸： CFRP で補強したコンクリートはりの曲げ及びせん断性状、コンクリート工学年次論文報告集、vol. 10、No. 3、pp. 547～552、1988
- 5) 石橋忠良・齊藤啓一・寺田年夫： 重ねられた鉄筋コンクリートはりのせん断耐力に関する実験的研究、コンクリート工学年次論文報告集、vol. 8、pp. 781～784、1986

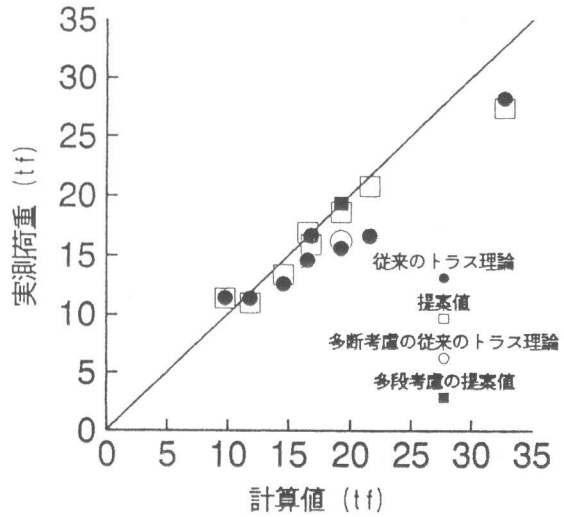


図-10 スターラップのある梁のせん断耐力